RANCANG BANGUN SISTEM LEVITASI MAGNET MENGGUNAKAN KONTROL PID

Bonfilio Wahyu Tri Winarto

S1 Teknik Elektro, Fakultas Teknik, Universitas Negeri Surabaya e-mail: bonfiliowinarto@mhs.unesa.ac.id

Puput Wanarti Rusimamto

Teknik Elektro, Fakultas Teknik, Universitas Negeri Surabaya e-mail: puputwanarti@unesa.ac.id

Abstrak

Penelitian ini fokus pada pengendalian medan elektromagnetik agar magnet *neodymium* dapat melayang dengan kontroler PID. Metode pengontrolan PID dirancang dengan mengidentifikasi *plant* menggunakan karakteristik respon sistem dengan aturan Ziegler-Nicols metode kedua untuk mendapatkan nilai konstanta PID. Perancangan *hardware* untuk sistem levitasi magnetik ini menggunakan Arduino Uno sebagai pusat kontroler dengan memasukkan *source* PID dan PWM untuk menjaga kestabilan medan magnet *plant* yang terintegrasi dengan aktuator elektromagnet serta sensor efek *hall* sebagai pembaca medan magnet *plant*. Hasil penelitian menunjukkan bahwa sistem levitasi magnetik dengan kontroler PID berhasil dibuat. Implementasi kontroler PID pada sistem levitasi magnetik pada setpoint 300 *gauss* dengan nilai Kp = 2.5, Ki = 1 dan Kd = 0.025 didapat respon sistem dengan Ess = 0,667% t_d = 0.351 s, t_r (5%-95%)=1.492 s, t_r (10%-90%)=1.113 s dan t_s (5%)=1.521 s, t_s (2%)=2.028 s, t_s (0,5%)=2.535 s.

Kata Kunci:Levitasi magnetik, Medan magnet, Kontroler PID, metode Ziegler-Nicols,

Arduino

Abstract

This study focuses on magnetic field control to obtain neodymium magnet can fly with the PID controller. The PID control method is designed by identifying the plant using system response characteristics with the Ziegler-Nicols law of the second method to obtain PID constants. The hardware design for this magnetic levitation system uses Arduino Uno as a central controller by inputting PID and PWM sources to keep the plant's stability of the magnetic field that integrated with electromagnet actuator, also hall effect sensor as a detector of magnetic field on the plant. The results showed that the magnetic field control system with PID was successfully made. Implementation of PID controller on magnetic levitation system at setpoint 300 gauss with value Kp = 2.5 Ki = 1 and Kd = 0.025, obtained system response with Ess = 0,667% t_d = 0.351 s, t_r (5%-95%)=1.492 s, t_r (10%-90%)=1.113 s dan t_s (5%)=1.521 s, t_s (2%)=2.028 s, t_s (0,5%)=2.535 s.

Keywords: Magnetic Levitation, Magnetic Field, PID Controller, Ziegler-Nicols method, Arduino

PENDAHULUAN

Seiring dengan perkembangan zaman dan perkembangan teknologi yang semakin pesat. Saat ini banyak perangkat dengan teknologi yang begitu inovatif sebagai penunjang kebutuhan masyarakat itu sendiri.

Sudah sejak lama studi dan penelitian tentang magnet telah menghasilkan berbagai produk yang bermanfaat bagi umat manusia. Metode pelayangan magnet adalah termasuk hal baru yang hasil penelitiannya banyak diterapkan di sektor industri dan transportasi karena dapat mengurangi gesekan mekanis secara berarti (Fransiskus, 2011).

Levitasi magnetik adalah proses melayang objek dengan memanfaatkan medan magnet. Hal ini menolak gaya gravitasi pada suatu benda dengan menggunakan medan magnet sebagai penangkal. Baik gaya magnet tolakan atau tarik dapat digunakan untuk membuat levitasi (Dwi Basuki dkk, 2011). Alat-alat di dunia industri dan transportasi sudah banyak yang mengaplikasikan teori magnetik levitation.

Untuk meneliti dan memahami lebih dalam mengenai teori levitasi magnetik ini dibutuhkan perangkat keras dari sistem levitasi magnetik. Perangakat keras sistem levitasi magnetik adalah sebuah perangkat keras pengontrolan pelayangan magnet *neodymium* dengan dengan menggunakan metode levitasi magnet.

Berdasarkan latar belakang masalah tersebut penelitian ini bertujuan merancang sebuah perangkat keras sistem levitasi magnetik menggunakan sensor efek *hall* merah untuk mengontrol magnet *neodymium* secara vertikal dengan mengimplementasikan kontroler proporsional-integral-derivatif (PID).

KAJIAN PUSTAKA

Pengendali PID

Kontroler PID merupakan kontroler mekanisme umpan balik yang biasanya dipakai pada sistem kontrol industri. Sebuah kontroler PID secara kontinyu menghitung nilai kesalahan sebagai beda antara setpoint yang diinginkan dan variabel proses terukur (Astrom, 1995). Persamaan output dari pengendali PID adalah,

$$u(t) = K_p e(t) + K_i \int_0^t e(t) dt + K_d \frac{de(t)}{dt}$$
 (1) dengan,

e(t): Sinyal galat : Sinyal output u(t)

 K_i : Gain Integral, parameter tuning K_d : Gain Derivatif, parameter tuning K_p : Gain proporsional, parameter tuning

de(t): Turunan pertama Td

dt

Tuning Parameter Nilai PID Ziegler-Nichols Metode

Aturan Ziegler-Nichols bertujuan untuk menentukan nilai gain proporsional K_p , waktu integral T_i , dan waktu turunan T_d berdasarkan karakteristik respon transient pada plant. Ada dua metode pada aturan tuning Ziegler-Nichols yaitu metode pertama dan metode kedua (Ogata, 2010:578). Pada penelitian ini menggunakan metode kedua dengan dengan meningkatkan nilai K_p dari 0 hingga pada nilai kritis K_{cr} hingga didapatkan output pertama dalam bentuk osilasi secara terus menerus. Jika output tidak menunjukkan osilasi secara terus menerus meskipun dicoba menggunakan berbagai nilai K_p maka cara ini tidak dapat digunakan. Sehingga gain kritikal Kcr dan periode P_{cr} yang berhubungan ditentukan secara eksperimen (Ogata, 2010:581). Berikut contoh grafik dan tabel aturan tuning Ziegler-Nichols metode kedua (Ogata, 2010:581):



Gambar 1. Respon kurva step tuning (Sumber: Ogata, 2010)

Tabel 1. Tuning Ziegler-Nichols Berdasarkan Gain dan Periode Kritis (Ogata, 2010)

			,	
Ti	pe	Kp	Ti	Td
Kont	roler			
F)	0.5K _{cr}	∞	0
P	I	$0.45K_{cr}$	$\left(\frac{1}{1.2}\right)P_{cr}$	0
PI	D	$0.6K_{cr}$	$0.5P_{cr}$	$0.125P_{cr}$

Sesuai dengan rumus Tabel 1 Ziegler dan Nicols untuk menentukan parameter Kp, Ti, Td tuning kontrol PID dengan metode pertama dengan ketentuan sebagai

$$Gc(s) = K_p \left(1 + \frac{1}{T_{is}} + T_d s \right) \tag{2}$$

$$= 0.6Kcr\left(1 + \frac{1}{0.5Pcr} + 0.125Pcr\right)$$
 (3)

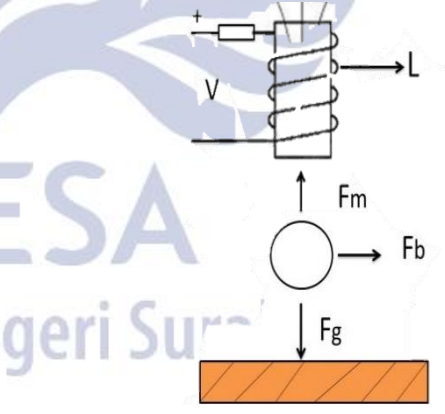
$$=0.075KcrPcr\frac{\left(s+\frac{4}{Pcr}\right)^2}{s}\tag{4}$$

Dengan,

: Gain kritikal Kcr Pcr: Periode ketika Kcr $T_i s$: Waktu Integral T_ds : Waktu derivatif

Model Matematika Sistem

Model levitasi magnetik ditunjukkan pada Gambar 2 terdiri dari solenoid dan benda magnetik yang melayang.



Gambar 2. Skema dari model levitasi magnetik (Sumber: Data primer, 2018)

dengan,

V = tegangan(V)

 $R = hambatan(\Omega)$

L = induktansi pada solenoid (H)

 F_m = gaya elektromagnetik (N)

 F_b = gaya yang dialami benda magnetik (N)

 $F_g = gaya gravitasi (N)$

Sistem magnetik levitasi dibuat menjadi kedalam 2 komponen yaitu sistem elektrikal dan sistem mekanik.

Rancang Bangun Sistem Levitasi Magnet Menggunakan Kontrol PID

Sistem elektrikal

Dengan menggunakan KVL (Kirchhoff's Voltage Law) pada elektromagnet didapat

$$V = V_R + V_L \tag{5}$$

Dari persamaan (5) dapat diuraikan menjadi

$$V = IR + L \frac{di}{dt} \tag{6}$$

dengan,

V: tegangan masukan

 V_R tegangan yang melewati hambatan

tegangan yang melewati induktor (solenoid) V_L

Ι : arus pada solenoid R : hambatan pada *solenoid* L: induktansi pada solenoid di : turunan arus terhadap waktu dt

Sistem Mekanik b.

Berdasarkan gambar 2, dengan menggunakan hukum Newton yang kedua jumlah dari gaya antara elektromagnet dan magnet yang dilayangkan adalah:

$$F_b = F_g - F_m \tag{7}$$

Persamaan 7 dapat diuraikan sebagai berikut

$$m\frac{dv}{dt} = mg - C\left(\frac{i^2}{x^2}\right) \tag{8}$$

dengan,

: massa benda yang dilayangkan m

dν : turunan kecepatan benda pelayangan terhadap dt

waktu

C: konstanta gaya elektromagnet.

: percepatan gravitasi g

: arus pada solenoid ketika benda melayang i

: jarak benda pelayangan х

Dengan menganalisa mekanisme levitasi magnetik, maka model matematika dapat ditetapkan

Persamaan kinetik:

$$m(\frac{d^2x}{dt^2}) = mg - F(i, x)$$
(9)

Persamaan mekanik elektromagnetik:

$$F(i, x) = c \left(\frac{i^2}{x^2}\right)$$
 (10) Persamaan elektrik :

$$U(t) = IR + L\frac{di}{dt} \tag{11}$$

Ketika magnet *neodymium* melayang stabil maka $x = x_0$ dan arus pada elektromagnet $I=i_{\theta,.}$ persamaan magnet neodymium pada titik keseimbangan yaitu

$$F(i_0, x_0) = mg \tag{12}$$

Untuk membuat kontroler, sistem dilinearisasi pada posisi kesetimbangan (i_0, x_0) . F(i, x) pada persamaan 9 menggunakan pendekatan deret taylor dan transformasi laplace didapatkan

$$\frac{X(s)}{I(s)} = \frac{1}{\left(\frac{i_0}{2a}\right)s^2 - i_0/x_0}$$
 (13)

Dalam kondisi yang sebenarnya variabel yang dikendalikan adalah tegangan input pada elektromagnet. Hubungan antara output dari sensor dan tegangan input pada elektromagnet (u) yaitu

$$G(s) = \frac{U_x(s)}{U(s)} = \frac{K_x/K_a}{(i_0/2g)s^2 - i_0/x_0}$$
(14)

dengan,

F(i, x): gaya ketika benda tertarik elektromagnetik $F(i_0, x_0)$: gaya ketika benda dalam keadaan seimbang : Fungsi alih dari model matematika plant G(s)

: kontrol tegangan pada solenoid U_x U: Output tegangan dari sensor

 K_{x} : sensor gain

 K_a : tegangan yang terkontrol pada elektromagnet.

posisi saat keseimbangan \mathbf{x}_0

 i_0 : arus ketika x₀

Arduino Uno

Arduino adalah pengendali mikro single-board yang bersifat opensource, diturunkan dari wiring platform, dirancang untuk memudahkan penggunaan elektronik dalam berbagai bidang. Arduino mega ini menggunakan chip ATmega328, memiliki Pin I/O digital, pin input Analog.



Gambar 3. Arduino Mega (Sumber: Arduino, 2018)

Sensor hall efek

Sensor efek hall merupakan sensor yang digunakan untuk mendeteksi medan magnet. Sensor tersebut akan menghasilkan tegangan yang proporsional dengan kekuatan medan magnet yang diterima oleh sensor tersebut. Sensor ini terdiri dari sebuah lapisan silikon yang berfungsi untuk mengalirkan arus listrik dan dua buah elektroda pada masing-masing sisi silikon (Fransiskus, 2011).



Gambar 4 Sensor Efek Hall (Sumber: Honeywell, 2015)

Elektromagnetik

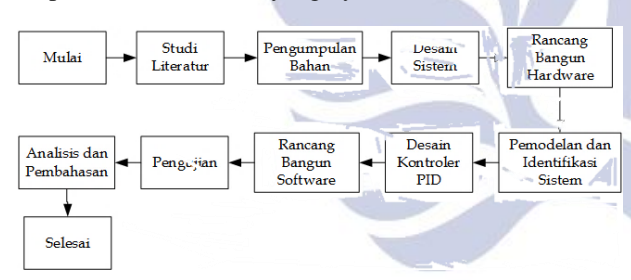
Elektromagnet didefinisikan sebagai prinsip pembangkitan medan magnet menggunakan arus listrik. Aktuator yang digunakan pada magnetik levitation system berupa magnet kumparan. Kumparan sendiri adalah sekumpulan kawat yang digulung menjadi heliks lilitan rapat (Sumber: Fransiskus, 2012).



Gambar 5. Elektromagnet (Sumber: SG Transmission, 2014)

METODE

Penelitian ini menggunakan pendekatan kuantitatif. Pendekatan kuantitatif yaitu berpijak pada apa yang disebut dengan fungsionalisme structural, realisme, potivisme, behaviourisme dan empirisme yang intinya menekankan pada hal-hal yang bersifat kongkrit, uji empiris dan fakta-fakta yang nyata (Sarwono, 2006)



Gambar 6. Diagram rancangan penelitian. (Sumber: Data primer, 2018)

Diagram alur rancangan penelitian ini terdapat pada Gambar 6. Penelitian akan dilakukan dengan studi literatur yaitu menggunakan teori-teori yang telah didapatkan dan penelitian akan dilanjutkan ke prosedur perancangan dan rekayasa teknik.

Perancangan Sistem

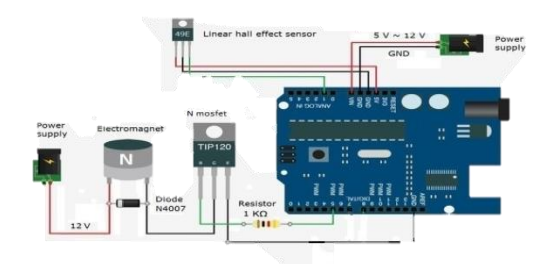
Perancangan sistem terdiri dari dua bagian awal, yaitu perancangan perangkat keras dan perancangan perangkat lunak. Rancangan perangkat keras terdiri dari bagian kerangka sistem levitasi magnet dan bagian elektris di tunjukkan pada Gambar 6 dan Gambar 7 :



Gambar 6. Diagram arsitektur rancangan sistem (Sumber: Data primer, 2018)

$\frac{\Gamma \text{abel 2. Spesifikasi } h}{\text{Data Alat}}$			Nilai
		Panjang	3 cm
	Vertikal	Lebar	0.5 cm
Tiang	Vertikai	Tinggi	20 m
Tiung	Horizontal	Panjang	8 cm
		Lebar	3 cm
		Tinggi	0.5 cm
Elektromagnet	10	Holding Force	5 kg
	magnet	Tegangan input	12 V
		Arus input	0,3 A
		Diameter	2.5 cm
		Diameter	1.2 cm
Magnet	Α		
Neodyn	nium	Tinggi	0.3 cm
eri	Sura	Pull force	2.1 kg

(Sumber: Dokumen Pribadi, 2018)



Gambar 7. Hubungan antar komponen elektris (Sumber: Data primer, 2018)

Rancang Bangun Sistem Levitasi Magnet Menggunakan Kontrol PID

Perancangan perangkat keras merupakan proses desain bagian-bagian penyusun dan desain mekanik serta perangkat elektronik. Dalam sistem ini menggunakan komponen penyusun dasar meliputi power *supply*, elektromagnet, dan Arduino yang terhubung pada sensor *hall* efek.

Selanjutnya perancangan perangkat lunak terdiri dari komputer, LabView dan tampilan *monitoring*. Komputer sebagai pemroses data, penerima, pengirim program melalui kabel USB ke Arduino, menampilkan GUI (*Graphical User Interface*) dari LabView. *Software* LabView yang digunakan adalah jenis LabView 2014 yang sudah terintegrasi dengan Arduino untuk memonitoring respon sistem dari sistem levitasi magnet menggunakan kontroler PID. Tampilan monitoring berasal dari LabView yang didapat dari pembacaan sensor *hall* efek yang ditunjukkan pada Gambar 8:



Gambar 8. *Flowchart* rancangan *Software* (Sumber: Data primer, 2018)

Berdasarkan Gambar 8 mula-mula sistem menginisialisasi nilai Ki, Kp, dan Kd yang akan digunakan kemudian set nilai referensi *setpoint* berupa nilai pembacaan sensor efek *hall*, selanjutnya sensor mulai membaca adakah medan magnet terdeteksi. Jika ada Arduino akan mengirimkan nilai berupa PWM dan kemudian dikonversikan dalam tegangan dan arus yang dialirkan ke elektromagnet. magnet *neodymium* mulai terangkat dan sensor mendeteksi apakah magnet *neodymium* sudah sesuai dengan *setpoint* atau belum, jika belum maka sistem akan kembali *looping* kembali.

HASIL DAN PEMBAHASAN Hasil Perancangan Sistem Levitasi Magnetik

Hasil perancangan alat sistem levitasi magnet terbuat dari akrilik yang dibentuk seperti huruf L terbalik. Pada tiang L terbalik tersebut dipasang elektromagnet dan sensor *hall* efek berada di bawah elektromagnet.

Bagian elektris diletakkan dibagian bawah sebagai penyangga dari tiang dengan menambahkan *box* dari akrilik yang didalamnya terdapat kontroler utama berupa Arduino uno dan juga komponen-komponen pendukung lainnya antara lain *power supply* dan mosfet IRZ44N, yang berfungsi mengatur medan magnet yang dihasilkan elektromagnet. Hasil perancangan secara keseluruhan ditunjukan pada Gambar 9:



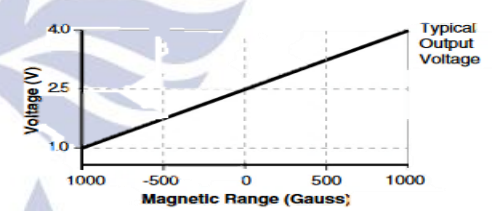
Gambar 9. Hasil perancangan sistem levitasi magnetik

(Sumber: Dokumen Pribadi, 2018)

Kalibrasi Sensor Hall Efek

Proses kalibrasi menggunakan pendekatan teoritis yaitu berdasarkan kurva/grafik yang diperoleh dari datasheet sensor yang digunakan.

Pengujian dilakukan dengan membandingkan pembacaan sensor efek *hall* yang digunakan dengan kurva/grafik dari *datasheet* sensor yang digunakan, Gambar 10 merupakan grafik hubungan antara tegangan dan *range magnetic* (gauss):



Gambar 10. Kurva hubungan tegangan dan *range* magnetic

(Sumber: Data primer, 2018)

Tabel 3 Kalibrasi sensor hall efek SS49E

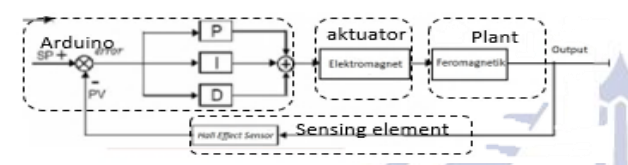
No	Tegangan	Data dari datasheet	SS49E
110	Volt	Gauss	Gauss
1.	1	-1000	-997
2.	1.75	-500	-508
3.	2.5	0	1
4.	3.25	500	498
5.	4	1000	995

(Sumber: Dokumen Pribadi, 2018)

Pemodelan, Validasi Model dan Perancangan Kontroler PID

Pada penelitian ini, fungsi alih didapatkan dengan menggunakan model matematika dari plant sistem.

Gambar 11 menunjukkan diagram blok kontrol sistem levitasi magnetic menggunakan PID. Medan magnet dikendalikan dengan kendali PID sehingga sinyal *error* selisih antara acuan dan *output* yang di proses diproses secara proposional, integral dan diferensial untuk menentukan sinyal kontrol yang akan diberikan ke *plant*.



Gambar 11. Diagram blok sistem levitasi magnetik dengan PID

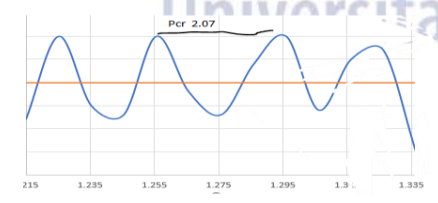
(Sumber: Data Primer, 2018)

Beberapa bagian dari diagram blok sistem diatas dapat dijelaskan sebagai berikut :

- a. Arduino berfungsi sebagai pusat kendali PID.
- b. Elektromagnet sebagai aktuator
- c. Magnet neodymium sebagai plant dalam sistem.
- d. Sensor efek hall digunakan sebagai feedback pembacaan medan elektromagnet yang dihasikan oleh elektromagnet.

Selanjutnya sistem levitasi magnetic digunakan metode *Ziegler Nichlos* tipe 2 untuk mencari nilai *Kp, Ti, Td.* Untuk melakukan pemodelan *Ziegler Nichlos* tipe 2 dengan cara menaikka

n nilai Kp dari 0 hingga mencapai *critical value Kcr* hingga output pertama mencapai osilasi berkelanjutan. Osilasi pada respon sistem akan digunakan untuk mencari nilai dari Kcr dan Pcr. Setelah melakukan eksperimen didapatkan nilai Kp = 4.1 yang respon sistemnya ditunjukkan pada Gambar 12



Gambar 12. Respon sistem (Sumber : Dokumen Pribadi, 2018)

Dari Gambar 12 menunjukan bahwa *plant* model dapat ditentukan dua buah konstanta yaitu *critical gain* (Kcr) dan *corresponding period* (Pcr) sesuai didapatkan data-data berikut:

- a. Kcr = 4.2
- b. Pcr = 2

Dari hasil data grafik respon sistem maka dapat dirancang kontroler PID yang sesuai dengan aturan tabel parameter Ziegler-Nicols metode pertama maka dihitung parameter Kp, τi, τd lebih jelasnya perhitungan untuk mendapatkan parameter kontroler PID pada Tabel 4 sebagai berikut:

Tabel 4. Parameter hasil penalaan dengan aturan Ziegler-Nicols metode pertama

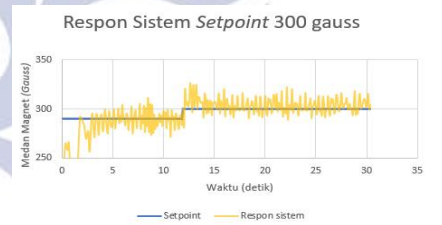
	1	
Kp	$ au_i$	$ au_d$
0.6Kcr	0.5Pcr	0.125Pcr
0.6 x 4.1	0.5 x 4	0,125 x 4
2.5	2	0.025

(Sumber: Dokumen Pribadi, 2018)

Implementasi dan Pengujian Kontroler PID

Setelah mendapatkan nilai Kp, τ_i , τ_d selanjutnya adalah mengimplementasikan kontroler PID maka terlebih dahulu program di *upload* ke *microcontroler* arduino uno dan memasukkan nilai-nilai parameter PID yang sudah didapatkan dari perhitungan Ziegler-Nicols metode pertama. Pengujian pada respon sistem ril dengan beberapa metode yaitu menguji respon kontroler PID

a. Respon Sistem Menggunakan Kontroler PID



Gambar 13. Respon sistem dengan *setpoint* 300 *gauss* (Sumber : Data Primer, 2018)

Berdasarkan Gambar 13, dapat dihitung parameter respon τ_d (*Time Delay*), τ_r (*Rise Time*), τ_s (*Settling Time*), Ess (*Error Steady State*) dengan nilai $\tau = 42,04$ detik.

Tabel 5. Parameter respon sistem menggunakan kontroler PID

Parameter Respon	Nilai
Waktu Tunda ($ au_d$)	0,351 detik
Waktu Naik ($ au_r$ 5%-95%)	1,492 detik
Waktu Naik ($ au_r$ 10%-90%)	1,113 detik
Waktu Tunak (τ_s 2%)	2,028 detik

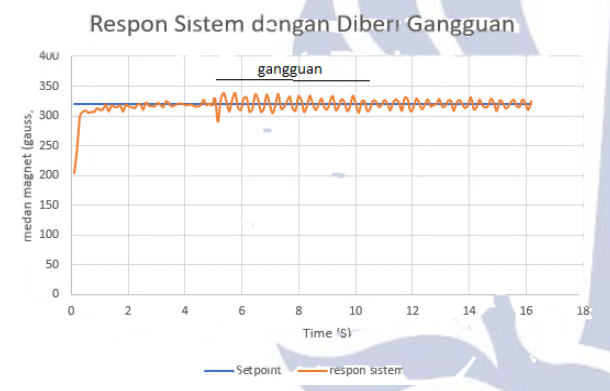
Rancang Bangun Sistem Levitasi Magnet Menggunakan Kontrol PID

Parameter Respon	Nilai
Waktu Tunak (τ_s 5%)	1,521 detik
Waktu Tunak (τ_s 0,5%)	2,535 detik
Error SteadyState (Ess)	0,667 %

(Sumber: Dokumen Pribadi, 2018)

b. Pengujian Respon Sistem dengan Gangguan

Pada Gambar 15 sistem levitasi magnetik diberi gangguan pada 5,052 detik. Ketika diberi ganguan dengan cara digoyangkan sedikit magnet *neodymium* grafik respon mengalami ketidakstabilan yaitu magnet neodymium menjadi bergoyang-goyang sehingga pembacaan pada sensor hall efek menjadi kurang stabil. dibutuhkan waktu tunak sebanyak 5,255 detik untuk kembali ke *setpoint* dan efek selanjutnya membuat overshoot sebesar 339 gauss lebih tepatnya 19 *gauss*.



Gambar 15. Respon sistem dengan gangguan (Sumber : Dokumen Pribadi, 2018)

Hasil Percobaan Sistem Levitasi Magnetik

Berdasarkan penelitian yang telah dilaksanakan bahwa kontrol medan magnet pada sistem levitasi magnetik berhasil dilakukan terbukti dengan melayangnya magnet *neodymium* dengan stabil. Gambar 16 menunjukan pelayangan magnet neodymium.



Gambar 16. Pelayangan magnet *neodymium* silinder (Sumber : Dokumen Pribadi, 2018)

PENUTUP

Simpulan

Berdasarkan data hasil yang telah diperoleh dan analisa hasil percobaan yang dilakukan dapat diambil kesimpulan bahwa rancang bangun sistem levitasi magnetik menggunakan kontroler PID berhasil dibuat dan sistem dapat mengikuti *setpoint* yang telah ditentukan.

Implementasi kontroler PID pada sistem levitasi magnetik menghasilkan nilai konstanta Kp = 2.5 Ki = 1, Kd = 0.025 mampu melayangkan magnet *neodymium* dengan stabil. Berdasarkan Tabel 5 pada *setpoint* 300 *gauss* di dapatkan *Error SteadyState* (Ess) : 0.667 %, $t_d = 0.351 \, \text{s}, \ t_r(5\%-95\%) = 1.492 \, \text{s}, \ t_r(10\%-9\%) = 1.1131 \, \text{s}, \ t_s(5\%)=1.521 \, \text{s}, \ t_s(2\%)=2.208 \, \text{s}, \ dan <math>t_s(0.5\%)=2.535 \, \text{s}.$

Saran

Berdasarkan simpulan diatas ada beberapa saran yang dapat dilakukan untuk pengembangan sistem agar hasil lebih maksimal yaitu menggunakan elektromagnet yang lebih kuat agar air gap saat pelayangan jaraknya lebih jauh, menggunakan jenis sensor yang berbeda seperti sensor IR, plant pengontrolan levitasi magnetic masih dapat dikembangkan dengan mengubah kontroler jenis kontrol adaptif, *fuzzy logic*, dan jaringan saraf tiruan (JST) agar dapat mengurangi nilai eror *steady state*.

DAFTAR PUSTAKA

Arduino. 2018. "Tech Specs Arduino UNO R3".(Online), (https://store.arduino.cc/arduino-uno-rev3, diunduh 29 April 2018).

Astrom, Karl. 1995. PID Controllers: "Theory, Designing, and Tuning Second edition". United State of America.

Dwi Basuki Wibowo, Sindu Sutomo. 2011. "Pemodelan dan Simulasi Sistem Control Magnetic Levitation Ball". Semarang : Universitas Diponegoro.

Fransiskus Bazoka. 2012. "Sistem Kendali Posisi Berbasis Levitasi Magnetik". Depok : UI

Honeywell, 2015. "SS39ET/SS49E/SS59ET Series Linear Hall-effect sensor ICs. Honeywell International Inc.

Ogata, Katsuhiko. 2010. "Modern Control Engineering Fifth edition". New Jersey: Pearson.

Sarwono, Jonathan. 2006. "Metode Penelitian Kuantitatif dan Kualitatif". Yogyakarta: Graha Ilmu.

SG Transmission, 2014. "Electromagnet Type 58. SG Transmission.

Stonewall Hickman. "Modeling and Designing A PID Controlled Magnetic Levitation System".

Xue-juan Shao. 2016. "Fuzzy PID Control of the Magnetic Levitation Ball System. Taiyuan: Taiyuan University of Science and Technology.

